

*Processo Drell-Yan:
a produção de dileptons e os seus momenta
transversais*

E. G. de Oliveira, M. B. Gay Ducati, M. A. Betemps

emmanuel.deoliveira@ufrgs.br

Grupo de Fenomenologia de Partículas de Altas Energias

Instituto de Física

Universidade Federal do Rio Grande do Sul

<http://www.if.ufrgs.br/gfpae>

Parcialmente financiado pelo CNPq

Sumário

- Colisões de hádrons em altas energias
- Processo Drell-Yan
- Modelo de pártons
- Momentum transversal intrínseco
- Correções de ordem seguinte à dominante
- Conclusões e perspectivas
- Bibliografia

Colisões de hádrons em altas energias

- Por que colisões de hádrons em altas energias?
- Apesar de que se saiba que os hádrons são formados por pártons (quarks e glúons), a maneira como estes pártons formam os hádrons necessita ser investigada por colisões como estas.
- Os partons carregam carga de cor, enquanto os hádrons não têm cor, de tal maneira que os pártons estão confinados ao interior dos hádrons.
- Sendo assim, a única maneira de estudar (“colidir”) os pártons é estudando (“colidindo”) hádrons. (Em outras palavras, não se pode produzir um feixe de quarks ou glúons.)
- Em altas energias tem-se a esperança de que técnicas perturbativas sejam válidas.
- Neste paradigma de trabalho, o processo Drell-Yan se destaca.

Colisões de hádrons em altas energias

- RHIC – Relativistic Heavy Ion Collider
- Hexagonal, 4 km de perímetro
- Pouca profundidade
- Pico de 400 GeV (c.m.) em colisões próton-próton
- 200 GeV (c.m.) em colisões Au-Au
- Entrou em operação em 2000
- Upton, New York

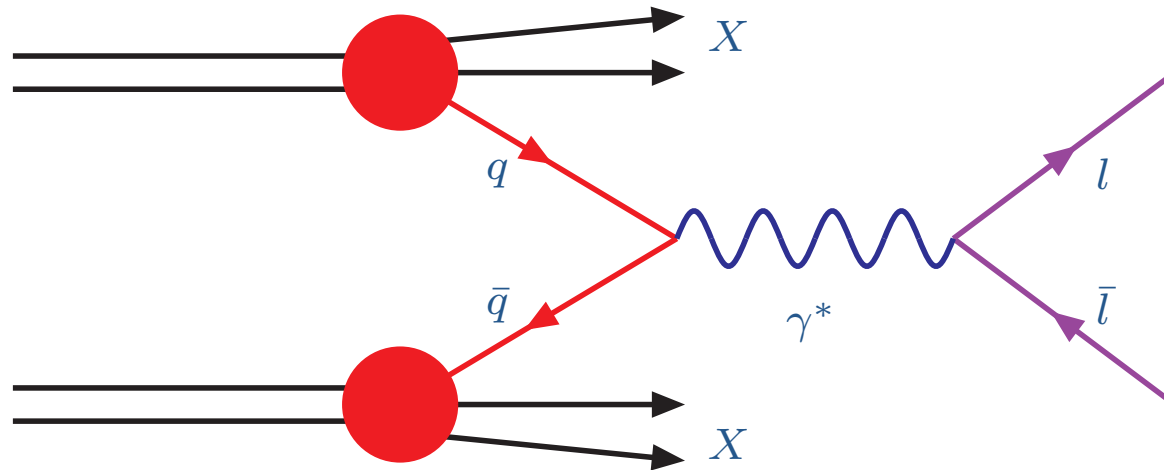


Colisões de hádrons em altas energias

- LHC – Large Hadron Collider
- 27 km de circunferência
- De 50 a 170 m de profundidade
- 7 TeV por feixe em colisões próton-próton
- Colisões em meados de 2008
- Perto de Genebra, na fronteira franco-suíça

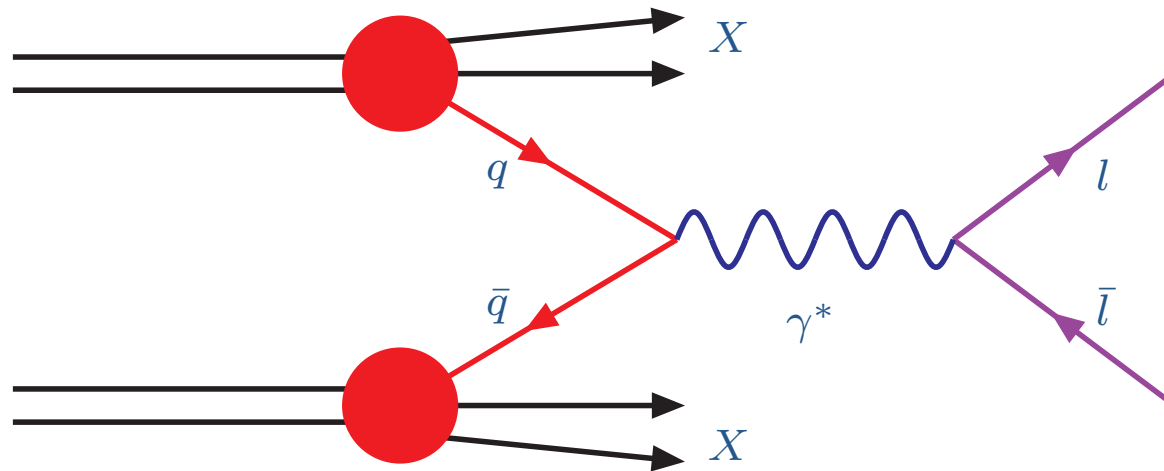


Processo Drell-Yan



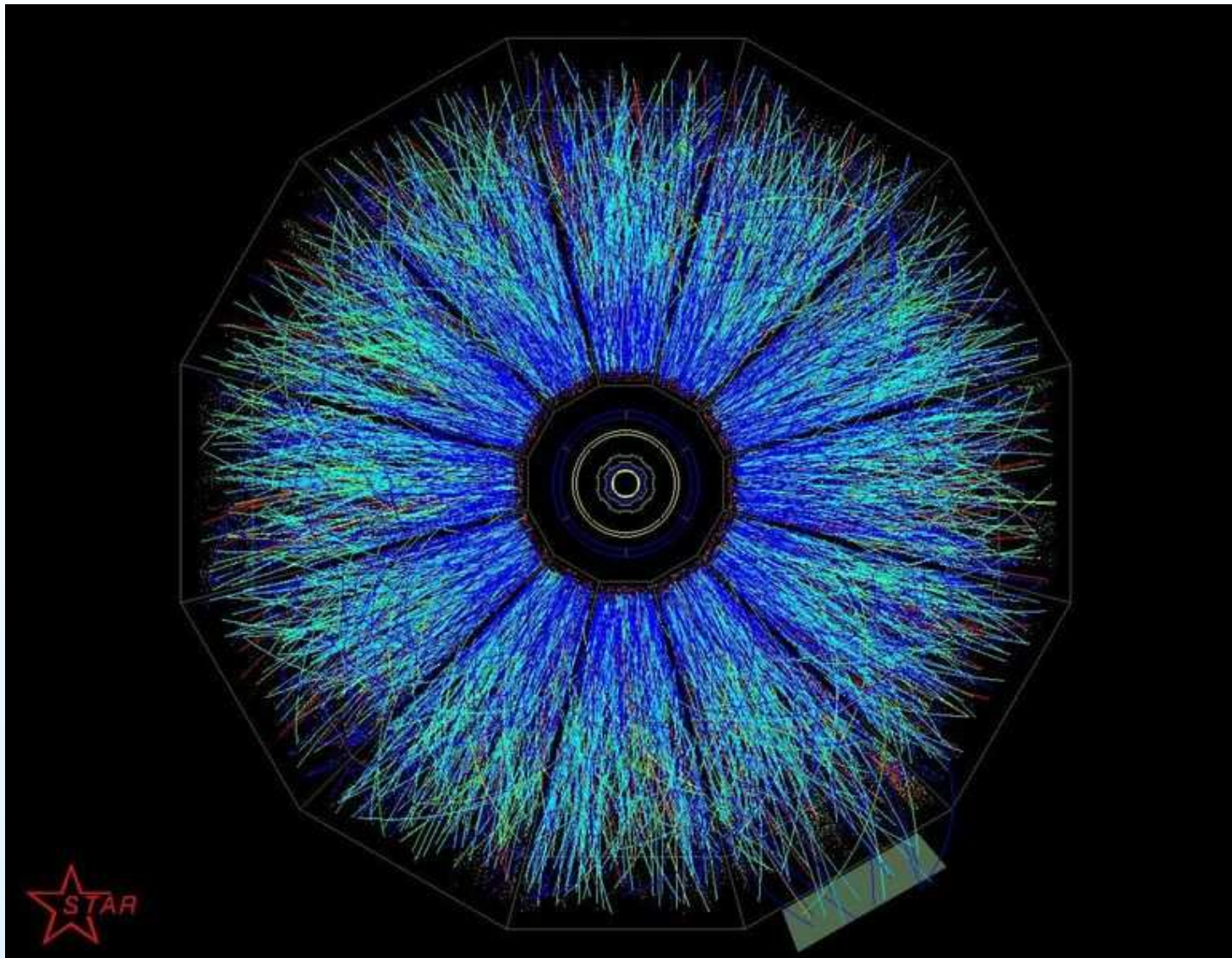
- O processo Drell-Yan é então a produção de diléptons (pares de léptons e antiléptons) a partir da combinação de dois pártons em um colisão entre dois hádrons.
- Foi proposto em S.D. Drell, T.M. Yan, Phys. Rev. Lett. 25, 316 (1970).
- Em ordem dominante, é a aniquilação de um par de quark e antiquark em um bóson virtual que cria o dilépton.
- Em ordem dominante, apenas vértices (interação) da eletrodinâmica quântica aparecem.

Processo Drell-Yan



- Além do par de lépton-antilépton, há um resíduo X , formado a partir dos outros pártons.
- O lépton pode ser um elétron (0,51 MeV), múon (105 MeV) ou tau (1777 MeV).
- O lépton não interage fortemente, ou seja, não é afetado pelo resíduo X .
- Para massa do dilepton M muito menor do que a massa do bóson Z (91 GeV), o bóson virtual que intermedia o processo Drell-Yan pode ser considerado apenas como o fóton.

Colisões de hádrons em altas energias



Cinemática do processo Drell-Yan

- Unidades naturais ($c = 1, \hbar = 1$).
- Hipótese: os pártons são colineares aos hádrons (ausência de momentum transversal).
- Momentum dos hádrons: P_A e P_B .
- Momentum dos pártons: $p_A = x_A P_A$ e $p_B = x_B P_B$.
- Momentum dos léptons: p_1 e p_2 .
- Energia de centro de massa do sistema hádron A e hádron B ao quadrado

$$s = (P_A + P_B)^2 = P_A^2 + P_B^2 + 2P_A \cdot P_B \approx 2P_A \cdot P_B \quad (1)$$

- Energia de centro de massa do dilépton ao quadrado

$$M^2 = (p_1 + p_2)^2 = (p_A + p_B)^2 = p_A^2 + p_B^2 + 2p_A \cdot p_B \approx 2p_A \cdot p_B = 2x_A x_B P_A \cdot P_B = x_A x_B s \quad (2)$$

Subprocesso $q + \bar{q} \rightarrow \gamma^* \rightarrow l + \bar{l}$

Em ordem dominante, a seção de choque do subprocesso é obtida a partir da aplicação da eletrodinâmica quântica (teoria quântica do eletromagnetismo).

$$i\mathcal{M} = \bar{v}^{s'}(p_B)(ie_q e \gamma^\mu) u^s(p_A) \left(-\frac{i g_{\mu\nu}}{M^2} \right) \bar{u}^r(p_1)(ie \gamma^\nu) v^{r'}(p_2) \quad (3)$$

$$\frac{1}{4} \sum_{\text{spins}} |\mathcal{M}|^2 = \frac{e_q^2 e^4}{4M^4} \text{tr} \left[(p_A)_\sigma \gamma^\sigma \gamma^\mu (p_B)_{\sigma'} \gamma^{\sigma'} \gamma^\nu \right] \text{tr} \left[(p_1)_\rho \gamma^\rho \gamma_\mu (p_2)_{\rho'} \gamma^{\rho'} \gamma_\nu \right] \quad (4)$$

$$\frac{1}{4} \sum_{\text{spins}} |\mathcal{M}|^2 = \frac{8e_q^2 e^4}{M^4} [(p_A \cdot p_1)(p_B \cdot p_2) + (p_A \cdot p_2)(p_B \cdot p_1)] \quad (5)$$

Trabalhando no referencial do centro de massa ($e^2 = 4\pi\alpha$):

$$\frac{1}{4} \sum_{\text{spins}} |\mathcal{M}|^2 = \frac{16e_q^2 (4\pi)^2 \alpha^2}{M^4} \frac{M^4}{16} [1 + \cos^2 \theta] = e_q^2 (4\pi)^2 \alpha^2 [1 + \cos^2 \theta] \quad (6)$$

$$\frac{d\hat{\sigma}}{d\Omega} = \frac{1}{64\pi^2 M^2} \sum_{\text{spins}} |\mathcal{M}|^2 = \frac{e_q^2 \alpha^2}{4M^2} [1 + \cos^2 \theta] \rightarrow \hat{\sigma} = \frac{4\pi e_q^2 \alpha^2}{3M^2} \quad (7)$$

Modelo de Pártons

- Determinar a distribuição de pártons de um hádron é um problema que exige uma solução por meio da cromodinâmica quântica não perturbativa.
- Esta solução não está disponível.
- A alternativa é usar uma parametrização obtida por meio de experimentos.
- No caso do processo Drell-Yan, são usadas funções de distribuição em momentum de pártons ($f_q(x_A)$).
- $f_q(x_A)dx_A$ é a probabilidade de encontrar o parton q com momentum entre x_A e $x_A + dx_A$ vezes o momentum do hádron A.
- Sendo assim, a seção de choque diferencial para o processo Drell-Yan é (em ordem dominante):

$$d\sigma = \sum_q [f_q(x_A)f_{\bar{q}}(x_B) + f_{\bar{q}}(x_A)f_q(x_B)] dx_A dx_B \hat{\sigma}_q \quad (8)$$

- A relação acima define o modelo de pártons, que não considera a interação forte.

Seção de choque

- É padrão trocar de variáveis:

$$\tau = x_A x_B = \frac{M^2}{s} \quad y = \frac{1}{2} \ln \frac{x_A}{x_B} \quad (9)$$

- Sendo assim:

$$\frac{d\sigma}{d\tau dy} = \frac{4\pi\alpha^2}{9M^2} \sum_q e_q [f_q(x_A) f_{\bar{q}}(x_B) + f_{\bar{q}}(x_A) f_q(x_B)] \quad (10)$$

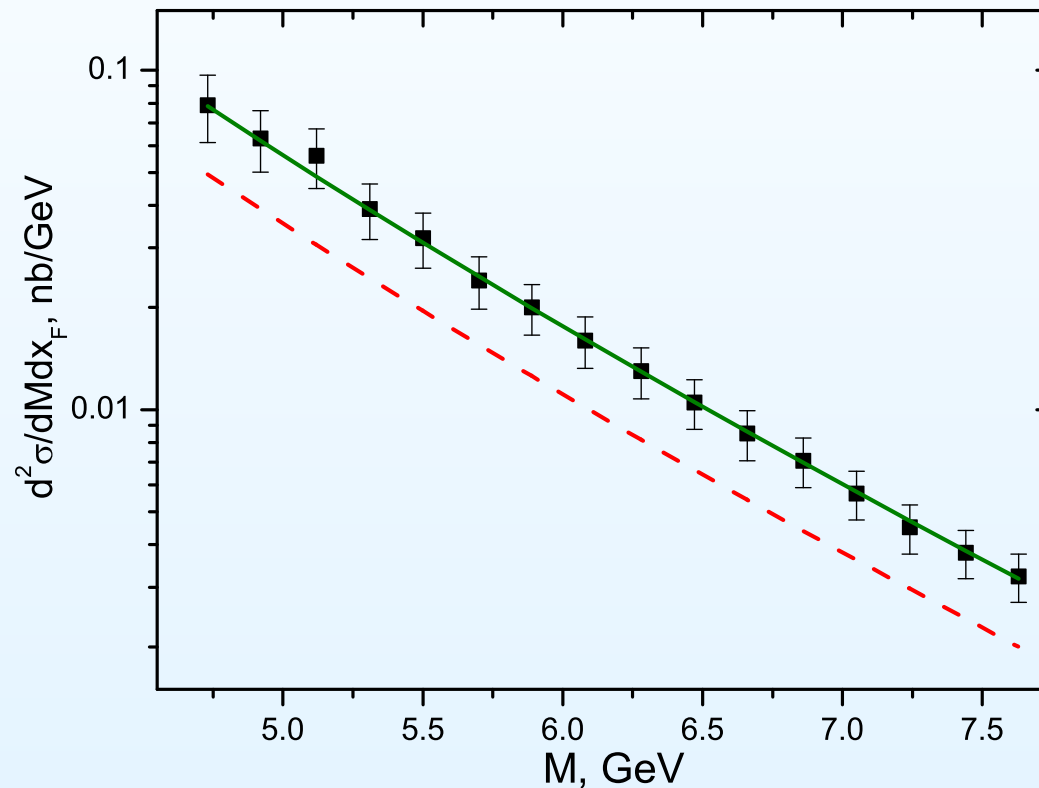
- Integrando na variável y ($dy = \frac{dx_A}{2x_A}$ e, para τ fixo, x_A é mínimo quando $x_B = 1$ e portanto $x_{A\min} = \tau$):

$$\frac{d\sigma}{d\tau} = \int_{\tau}^1 \frac{dx_A}{2x_A} \frac{4\pi\alpha^2}{9M^2} \sum_q e_q [f_q(x_A) f_{\bar{q}}(\tau/x_A) + f_{\bar{q}}(x_A) f_q(\tau/x_A)] \quad (11)$$

$$M^4 \frac{d\sigma}{dM^2} = \tau \int_{\tau}^1 \frac{dx_A}{2x_A} \frac{4\pi\alpha^2}{9} \sum_q e_q [f_q(x_A) f_{\bar{q}}(\tau/x_A) + f_{\bar{q}}(x_A) f_q(\tau/x_A)] \quad (12)$$

Comparação com experimento: ordem dominante

- Dados do experimento E439 do Fermilab ($\sqrt{s} = 20\text{GeV}$ e $x_F = 0, 1$).
- Linha tracejada representa o cálculo em ordem dominante.
- Linha contínua representa o cálculo em ordem dominante escalonado por um fator de 1,6.
- Logo, algo falta na descrição apresentada do experimento.
- A correção deve ser buscada em ordens seguintes à dominante.



Momentum transversal intrínseco

- Uma outra questão são os momenta transversais dos diléptons ($p_T^{\vec{}}$, bidimensional), que experimentalmente são observados mas não estão incluídos no modelo apresentado até agora.
- Deve-se considerar que os pártons dentro dos hádrons possuem um momentum transversal intrínseco (ou seja, que já existe antes da colisão).
- As funções de distribuição de pártons são alteradas seguindo a regra:

$$f(x)dx \rightarrow f(x)h(k_T^{\vec{}})dx d^2 k_T \quad (13)$$

com $\int h(k_T^{\vec{}})d^2 k_T = 1$. A seção de choque com dependência em p_T torna-se:

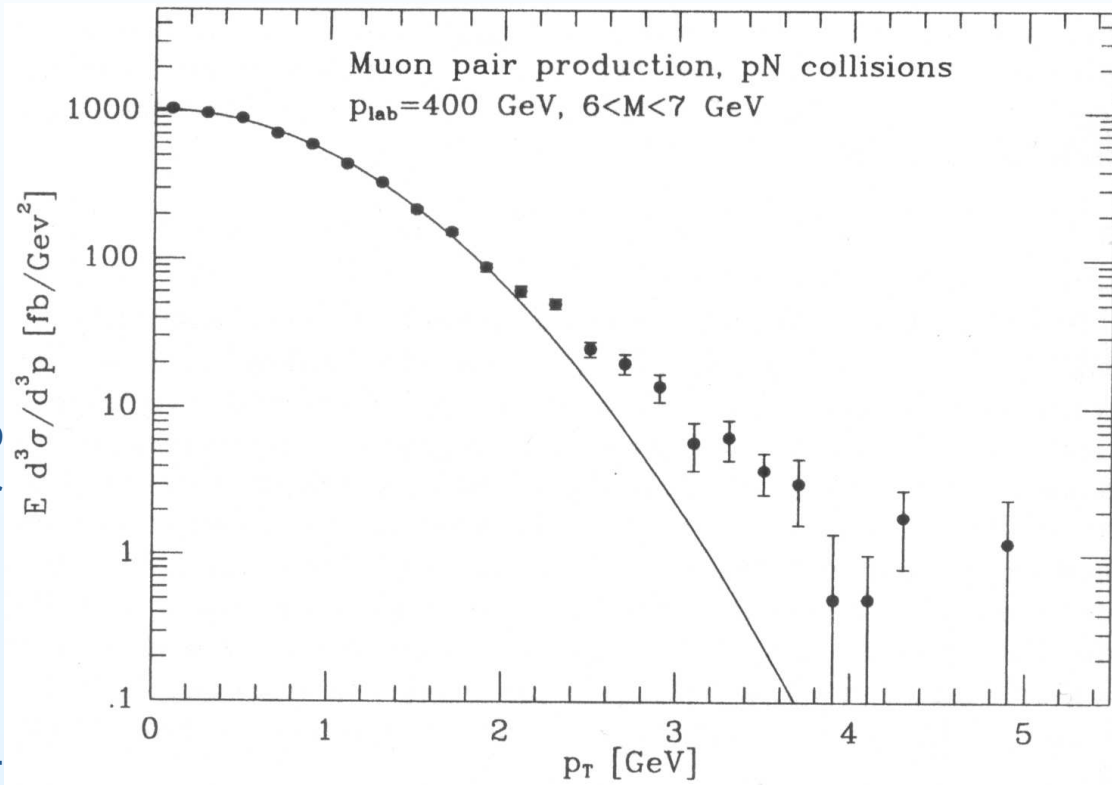
$$\frac{1}{\sigma} \frac{d\sigma}{d^2 p_T} = \int d^2 k_{T1} d^2 k_{T2} \delta^{(2)}(k_{T1}^{\vec{}} + k_{T2}^{\vec{}} - p_T^{\vec{}}) h(k_{T1}^{\vec{}}) h(k_{T2}^{\vec{}}). \quad (14)$$

- No caso de uma distribuição gaussiana ($h(k_{T1}^{\vec{}}) = \frac{1}{2\pi b^2} \exp(-\frac{k_{T1}^2}{2b^2})$), o resultado é simplesmente:

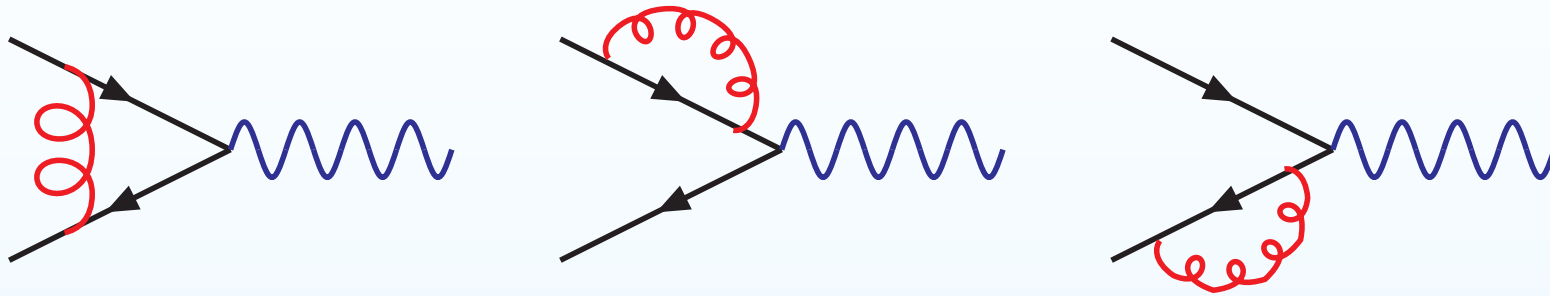
$$\frac{1}{\sigma} \frac{d\sigma}{d^2 p_T} = \frac{1}{4\pi b^2} \exp\left(-\frac{p_T^2}{4b^2}\right). \quad (15)$$

Comparação com experimento: momentum intrínseco

- Dados do experimento E288 do Fermilab ($\sqrt{s} = 20\text{GeV}$, $6\text{ GeV} < M < 7\text{GeV}$ e $x_F = 0, 1$).
- Para pequeno p_T , uma boa descrição da seção de choque é atingida.
- Para grande p_T , a seção de choque parece seguir uma lei de potência. (Pártons podem sofrer um forte espalhamento).
- Novamente, ordens seguintes à dominante podem oferecer algo.

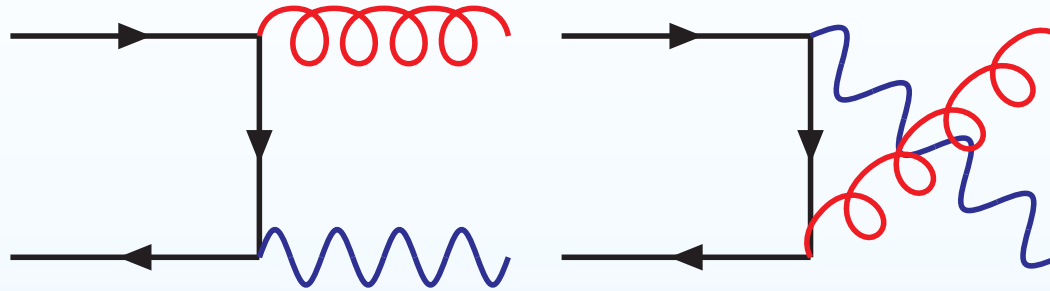


NLO – Termos virtuais



- Termos de correções de glúons virtuais
- Agora a cromodinâmica quântica está envolvida, nos vértices glúon-quark-quark.
- O primeiro diagrama é uma correção de vértice, a princípio infinita, mas que deve ser regularizada e depois renormalizada. Contribui para renormalização do parâmetro de acoplamento α_s .
- Os outros dois termos contribuem para a auto-energia (massa) do quark.
- Nenhum momentum transversal é gerado.

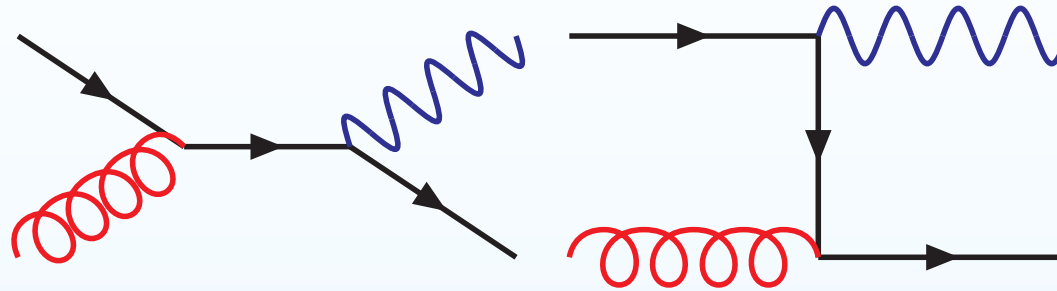
NLO – Termos de aniquilação



- Diagramas de aniquilação, nos quais um quark e um antiquark produzem o fóton virtual e mais um glúon.
- O fóton pode possuir momentum transversal agora já no subprocesso, já que o glúon *leva embora* parte do momentum transversal.
- As funções de distribuição agora dependem de M , quebrando a invariância de escala.

$$\begin{aligned}
 \sigma_{\text{aniq}}(s, M^2, y, p_T) &= \frac{d\sigma_{\text{aniq}}}{dM^2, dy, dp_T^2} \\
 &= \int_{x_{\text{a min}}}^1 dx_a \frac{x_b x_a}{x_a - x_1} \sum_q P_{q\bar{q}}(x_a, x_b, M^2) \frac{1}{\pi} \frac{8}{27} \frac{\alpha^2 \alpha_s e_q^2}{M^2 \hat{s}^2} \frac{2M^2 \hat{s} + \hat{u}^2 + \hat{t}^2}{\hat{t}\hat{u}}
 \end{aligned}
 \tag{16}$$

NLO – Termos de Compton

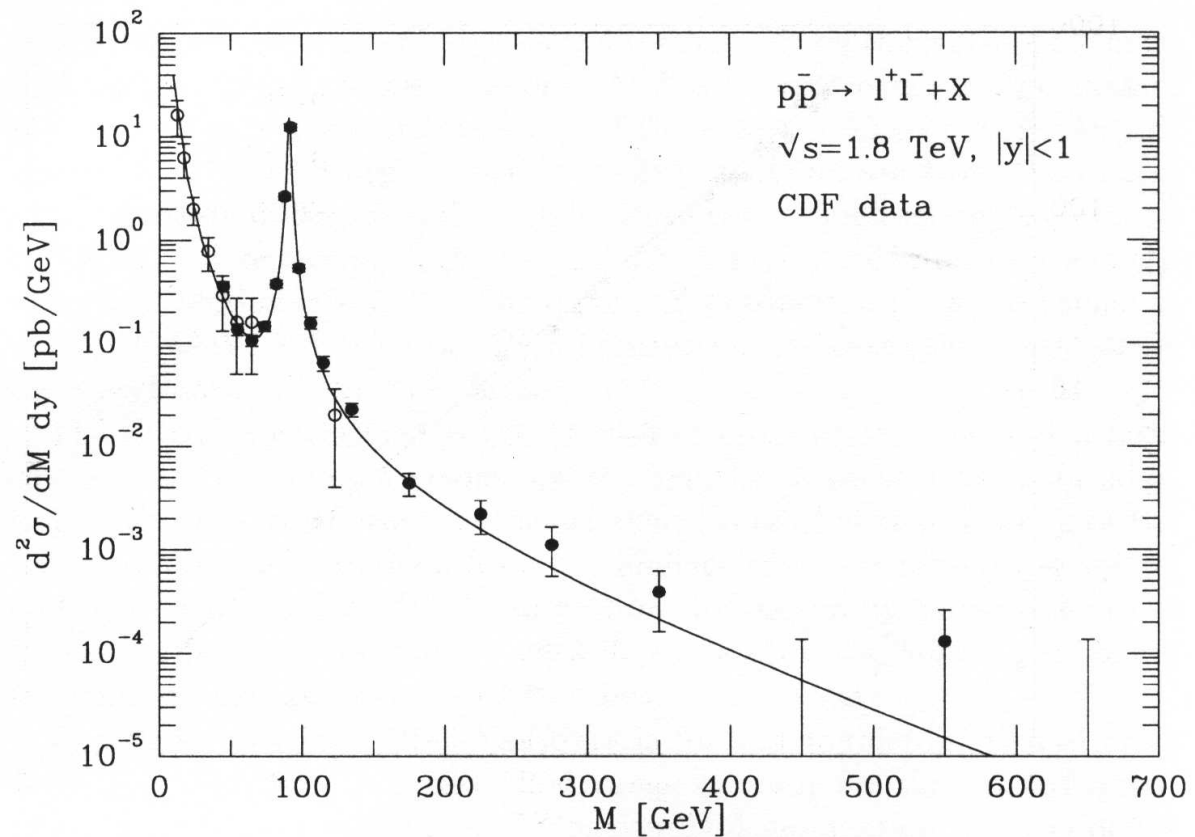


- Diagramas de Compton, nos quais um quark (ou antiquark) absorve um glúon e emite o fóton.
- Desta vez, o quark pode *levar embora* parte do momentum transversal.
- Funções de distribuição de glúons são necessárias.

$$\sigma_{\text{Compt}}(s, M^2, y, p_T) = \int_{x_{a\min}}^1 dx_a \frac{x_b x_a}{x_a - x_1} \sum_q [P_{gq}(x_a, x_b, M^2) + P_{g\bar{q}}(x_a, x_b, M^2)] \times \frac{1}{\pi} \frac{1}{9} \frac{\alpha^2 \alpha_s e_q^2}{M^2 \hat{s}^2} \frac{2M^2 \hat{u} + \hat{s}^2 + \hat{t}^2}{-\hat{s}\hat{t}} \quad (17)$$

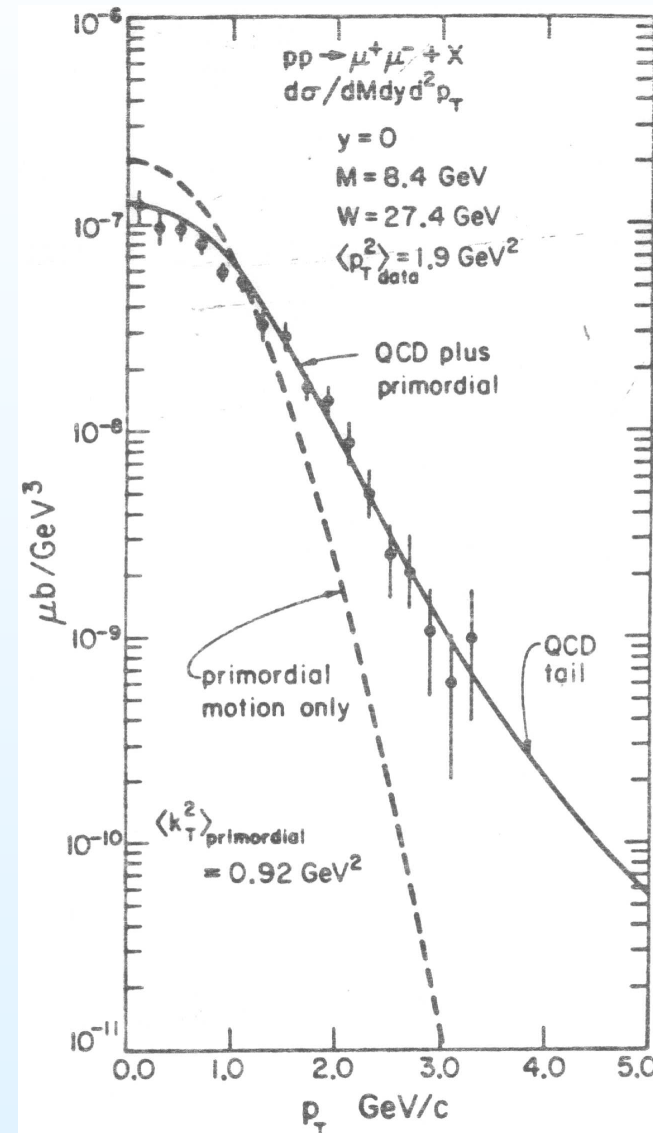
Comparação com experimento: NLO

- Dados do experimento E741 do Fermilab ($\sqrt{s} = 1,8 \text{ TeV}$ e $|y| < 1$).
- Colisão $p\bar{p}$: funções de distribuição de partons mudam.
- O cálculo considera Z também como bóson virtual.
- Correções em ordem seguinte à seguinte à dominante (NNLO) podem ser úteis.



Comp. com experimento: NLO e momentum intrínseco

- Valores ($\sqrt{s} = 27.4\text{GeV}$, $M=8.4\text{ GeV}$ e $y = 0$).
- Linha tracejada representa o cálculo em ordem dominante.
- Linha contínua representa o cálculo em ordem seguinte à dominante com momentum transversal intrínseco.
- 0,9 GeV de momentum origina-se do momentum transversal intrínseco, 1,0 GeV de momentum vêm das correções em ordem seguinte à dominante.



Conclusões e perspectivas

- O método apresentado é capaz de reproduzir os dados experimentais.
- Contudo, muitos parâmetros fenomenológicos são usados.
- Portanto, pouco entendimento sobre a estrutura do hádron é obtido.
- A saída pode ser comparada com outros métodos, como o formalismo de dipolos ou métodos de virtualidade variável.
- Ainda existe o estudo de funções nucleares de distribuição de pártons.

Bibliografia

- R.D. Field, *Applications of Perturbative QCD*, Addison-Wesley, Reading, 1989.
- W. Greiner, A. Schäfer, *Quantum Chromodynamics*, Springer, Berlin, 1994.
- R.K. Ellis, W.J. Stirling, B.R. Webber, *QCD and Collider Physics*, Cambridge University Press, Cambridge, 1996.
- M.A. Betemps, M.B. Gay Ducati, E.G. de Oliveira, *Phys. Rev. D* **74**, 094010 (2006).
- O. Linnyk, S. Leupold, U. Mosel, *Phys. Rev. D* **75**, 014016 (2007) [arXiv:hep-ph/0607305].
- E605 collaboration, H.L. Lai *et al.*, *Phys. Rev.* **D50** (1994).
- CDF collaboration, F. Abe *et al.*, *Phys. Rev.* **D49** (1994).
- W.J. Stirling, M.R. Whalley, *J. Phys. G* **19** (1993).
- P.L. McGaughey, J.M. Moss, J.C. Peng, *Annu. Rev. Nucl. Part. Sci.* **49** 1999.